



Revista Eletrônica
Paulista de Matemática

ISSN 2316-9664

Volume 7, dez. 2016

Edição ERMAC

Leandro Bezerra de Lima

CPAq-UFMS /

FEEC-UNICAMP

leandro.lima@ufms.br

Reginaldo Palazzo Júnior

FEEC-UNICAMP

palazzo@dt.fee.unicamp.br

Similaridade entre a estrutura algébrica associada a espaços projetivos e design combinatório via diagrama de Hasse

Similarity between the algebraic structure associated with projective space and combinatorial design via Hasse diagram

Resumo

Design combinatório é uma importante estrutura combinatória com elevado grau de regularidade, que está relacionada a existência e construção de conjuntos de cardinalidade finita. Codificação em espaço projetivo é uma área de pesquisa muito recente e tem como elemento um objeto matemático composto por todos os subespaços vetoriais de um dado espaço vetorial, chamado espaço projetivo. Munido da distância de subespaço, o espaço projetivo torna-se um espaço métrico e assim, pode-se definir códigos corretores de erros nesse espaço, onde as palavras códigos agora serão subespaços e a reunião desses subespaços forma o código de subespaço. Propomos apresentar algumas similaridades existentes entre alguns espaços projetivos e uma estrutura algébrica por meio do design combinatório, com intuito, de fornecer elementos que possam ser úteis para a elaboração e construção de algumas classes de códigos de subespaços.

Palavras-chave: Matemática Discreta, Design Combinatório, Espaço Projetivo, Códigos de Subespaço.

Abstract

Combinatorial design is an important combinatorial structure having a high degree of regularity and which is related to the existence and construction of systems of sets with finite cardinality. Projective space of order m over a finite field \mathbb{F}_p , denoted by $\mathbb{P}(\mathbb{F}_p^m)$, (note that \mathbb{F}_p^m is isomorphic to \mathbb{F}_p^m), is the set of all the subspaces in the vector space \mathbb{F}_p^m . The projective space endowed with the subspace distance $d(X, Y) = \dim(X) + \dim(Y) - 2\dim(X \cap Y)$ is a metric space. Hence, the subspace code \mathcal{C} with parameters (n, M, d) in the projective space is a subset of $\mathbb{P}(\mathbb{F}_p^m)$ with cardinality M with a subspace distance at least d between any two codewords. In this paper we show the existing similarity between the Hasse diagram of an Abelian group consisting of the product of multiplicative finite Abelian groups \mathbb{Z}_p^m and the Hasse diagram of the projective space $\mathbb{P}(\mathbb{F}_p^m)$, with the aim to provide the elements that may be useful in the identification and in the construction of good subspaces codes.

Keywords: Discrete Mathematics. Combinatorial Design. Subspace Code. Projective Space.

1 Introdução

Design combinatório é uma importante estrutura combinatorial com elevado grau de regularidade e que está relacionada à existência e construção de sistemas de conjuntos de cardinalidade finita [1]. Inicialmente, o objetivo era consolidar a teoria de modo matematicamente coerente, sem entretanto focar em questões de aplicações práticas. Devido à diversidade e relevância dos problemas com aplicações práticas a inclusão ocorreu de uma forma natural. Como um exemplo mencionamos a relação existente entre códigos corretores de erros em espaço de Hamming e design combinatório, onde as palavras-código de peso 3 do código de Hamming formam um sistema triplo de Steiner, [2, 3], assim como q -analogos de um código de peso constante no espaço de Hamming é um código na Grassmanniana do espaço projetivo, [4, 5]. Codificação em espaços projetivos é uma área de pesquisa recente e tem como elemento um objeto matemático composto por todos os subespaços vetoriais de um dado espaço vetorial, chamado *espaço projetivo*. Munido da distância de subespaço, o espaço projetivo torna-se um espaço métrico e assim, pode-se definir códigos corretores de erros nesse espaço, onde as palavras-código agora serão subespaços e a reunião desses subespaços forma o código de subespaço, [6]. Código de subespaço é uma alternativa para aplicações em controle de erros em codificação de rede (do inglês Network Coding), que adicionalmente à comutação possibilita que seja realizada a codificação em cada nó, ou seja, os dados na saída estão sujeitos à transformações bem definidas e pré-estabelecidas dos dados na entrada em cada nó, permitindo assim, um aumento na taxa de transmissão da informação pela rede, [6, 7]. Neste trabalho, o objetivo é evidenciar as similaridades existentes entre as estruturas algébrica e do design via o diagrama de Hasse com o objetivo de construir bons códigos de subespaços, [8, 9, 10, 11].

2 Design Combinatório

Definição 1 *Seja $X \neq \emptyset$ um conjunto com v elementos e $B \neq \emptyset$ uma coleção de subconjuntos distintos de X com cardinalidade b . Definimos o par (X, B) como sendo um **t -design** com parâmetros (v, k, λ) , onde $0 < k < v$ e $\lambda > 0$, e denotado por (v, k, λ) -**design**, se:*

- cada bloco de B contém exatamente k elementos;
- cada par de elementos distintos de X está contido em exatamente λ blocos.

Observação 2 *Outra notação para a classe dos design da Definição 1 que aparece na literatura é (v, k, λ) -**BIBD** (do Inglês, **Balanced Incomplete Block Design**).*

Exemplo 1 *Considere o conjunto $X = \{1, 2, 3, 4, 5, 6, 7\}$ com $B = \{123, 145, 167, 247, 256, 346, 357\}$. O par (X, B) é um $(7, 3, 1)$ -**BIBD**, ver Fig. 1.*

Proposição 3 *Se (X, B) é um (v, k, λ) -**BIBD**, então cada elemento de X pertence a r blocos, onde:*

$$bk = rv \quad e \quad r(k-1) = \lambda(v-1). \quad (1)$$

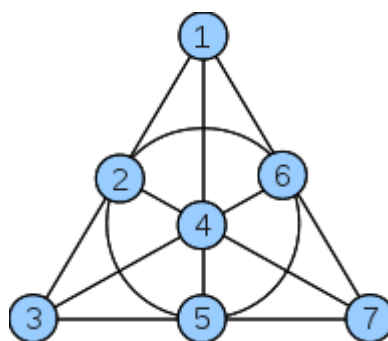


Figura 1: Plano de Fano

Observação 4 Na literatura também encontra-se a seguinte notação para esta classe de design (v, b, r, k, λ) -BIBD, [1].

Apresentamos a seguir um resultado mais geral, válido para qualquer t -design.

Proposição 5 Se (X, B) é um t -design com parâmetros (v, k, λ) , com $0 < t < k < v$ e $\lambda > 0$, então o número de blocos b é dado por:

$$b \binom{k}{t} = \lambda \binom{v}{t}. \quad (2)$$

Definição 6 Um t -design (X, B) denotado por (v, k, λ) -BIBD é dito **simétrico** se $|X| = |B| = v = b$.

Observação 7 Da equação (1) e da Definição 6, pode-se concluir que se um (v, k, λ) -BIBD é simétrico, então $k = r$.

Exemplo 2 Seja $X = \{1, 2, 3, 4, 5, 6, 7, 8, 9, A, B, C, D\}$ e $B = \{1234, 1567, 189A, 1BCD, 258B, 269D, 27AC, 359C, 36AB, 378D, 45AD, 468C, 479B\}$. Assim o par (X, B) é um $(13, 4, 1)$ -BIBD simétrico, onde $b = v = 13$ e $r = k = 4$.

Definição 8 Um t -design com parâmetros $(v, k, 1)$ é definido como sendo um **sistema de Steiner** e é denotado por $S(t, v, k)$.

Um caso particular de sistemas de Steiner são os sistemas triplo de Steiner com $k = 3$.

Definição 9 Definimos um **sistema triplo de Steiner** de ordem v e denotamos por $STS(v)$ como sendo um sistema de Steiner com parâmetros $S(2, v, 3)$.

Observação 10 Um sistema triplo de Steiner $STS(v)$ é um $(v, 3, 1)$ -BIBD.

Uma condição necessária para a existência de um sistema triplo de Steiner é apresentada através da seguinte proposição.

Proposição 11 *Uma condição necessária para que exista um sistema triplo de Steiner de ordem v , com $v \geq 3$, é que $v \equiv 1 \pmod{6}$ ou $v \equiv 3 \pmod{6}$.*

3 Espaços Projetivos e Códigos de Subespaço

Considerando que todo espaço vetorial de dimensão m sobre um corpo finito \mathbb{F}_q é isomorfo a \mathbb{F}_q^m apresentamos a seguir algumas definições importantes.

Definição 12 *O espaço projetivo é definido como o conjunto de todos os subespaços vetoriais de \mathbb{F}_q^m e é denotado por $\mathbb{P}(\mathbb{F}_q^m)$. Além disso, o conjunto de todos os subespaços com uma dada dimensão k é denominado **Grassmanniana** e denotado por $\mathcal{G}(\mathbb{F}_q^m, k)$.*

Observação 13 *Note que:*

$$\mathbb{P}(\mathbb{F}_q^m) = \bigcup_{k=0}^m \mathcal{G}(\mathbb{F}_q^m, k).$$

Definição 14 *O número de subespaços vetoriais de $\mathbb{P}(\mathbb{F}_q^m)$ com dimensão k é dado por*

$$\binom{m}{k}_q = \prod_{i=0}^{k-1} \frac{q^m - q^i}{q^k - q^i}.$$

Definição 15 *A cardinalidade de uma Grassmanniana de $\mathbb{P}(\mathbb{F}_q^m)$ com dimensão k é*

$$|\mathcal{G}(\mathbb{F}_q^m, k)| = \binom{m}{k}_q.$$

e a cardinalidade do espaço projetivo de $\mathbb{P}(\mathbb{F}_q^m)$ é

$$|\mathbb{P}(\mathbb{F}_q^m)| = \sum_{k=0}^m \binom{m}{k}_q.$$

Definição 16 *Um código de subespaço é um conjunto não vazio de $\mathbb{P}(\mathbb{F}_q^m)$. No caso em que o código de subespaço está contido em uma Grassmanniana de ordem k , $\mathcal{C}(\mathbb{F}_q^m, k) = \{V \in \mathbb{P}(\mathbb{F}_q^m) : \dim V = k\}$, ou seja, todas as suas palavras-código possuem a mesma dimensão, será chamado **código de subespaço de dimensão constante**. Denotamos por d a distância mínima do código \mathcal{C} .*

Definição 17 *A distância de subespaço entre U e V é definida como:*

$$d(U, V) = \dim(U) + \dim(V) - 2\dim(U \cap V), \quad (3)$$

onde $+$ e \cap representam, respectivamente, a soma e a interseção de subespaços.

Definição 18 *Os parâmetros de um código $\mathcal{C} \subset \mathbb{P}(\mathbb{F}_q^m)$ são denotados por (m, M, d) onde n é a dimensão do espaço projetivo, M é a cardinalidade do código e d a distância mínima do código. Se o código \mathcal{C} está em uma Grassmanniana de dimensão k o parâmetro é do tipo (m, M, d, k) .*

Exemplo 3 Seja o espaço vetorial \mathbb{F}_2^3 . Um exemplo interessante de código na Grassmanniana é o código simplex $\mathcal{C}_2 = \{S_1, S_2, S_3\}$ com parâmetro $(n, M, d, k) = (3, 3, 2, 2)$, cujas palavras-código, ou seja, os subespaços vetoriais são $S_1 = \{000, 011, 100, 111\}$, $S_2 = \{000, 010, 101, 111\}$, $S_3 = \{000, 001, 110, 111\}$.

Uma forma de interpretar a definição de distância de subespaço é por meio do diagrama de Hasse.

Diagrama de Hasse é uma ferramenta matemática que representa graficamente qualquer conjunto finito parcialmente ordenado. No nosso contexto, é possível construir o diagrama de Hasse, visto que o espaço projetivo $\mathbb{P}(F_q^n)$ com a seguinte relação de ordem \preceq , em que $V_1 \preceq V_2$ se, e somente se, V_1 é subespaço de V_2 , é parcialmente ordenado. Dois subespaços estão conectados se, e somente se, V_1 é subespaço de V_2 e $\dim V_2 = \dim V_1 + 1$ ou vice-versa. Logo, a partir do diagrama de Hasse, podemos interpretar a distância entre dois subespaços V_1, V_2 de $\mathbb{P}(F_q^n)$ como o caminho de menor distância, geodésica, ligando V_1 e V_2 .

Lema 19 Sejam U e V subespaços de um espaço vetorial de dimensão n . Então a distância é máxima, isto é, $d_s(U, V) = n$, se, e somente se,

1. Os subespaços U e V se intersectam em um subespaço de dimensão 0;
2. $\dim(U) + \dim(V) = n$.

4 Relações entre Design Combinatório e Espaços Projetivos

Apresentamos alguns exemplos de design combinatório que descrevem as conexões de algumas classes de espaços projetivos.

Exemplo 4 O design $(7, 3, 1)$ -BIBD ou $STS(7)$, conhecido como plano de Fano, descreve as conexões do espaço projetivo $\mathbb{P}(\mathbb{F}_2^3)$, ver Fig. 4.

Exemplo 5 O design $(13, 4, 1)$ -BIBD descreve as conexões do espaço projetivo $\mathbb{P}(\mathbb{F}_3^3)$.

Teorema 20 Seja $q \geq 2$ uma potência de primo e $d \geq 2$ um inteiro. Então existe um design simétrico:

$$\left(\frac{q^{d+1} - 1}{q - 1}, \frac{q^d - 1}{q - 1}, \frac{q^{d-1} - 1}{q - 1} \right) - \text{BIBD}.$$

Corolário 21 Para cada potência de primo $q \geq 2$ e $d = 2$, existe um $(q^2 + q + 1, q + 1, 1)$ -BIBD simétrico, isto é, um plano projetivo de ordem q .

Exemplo 6 Existe um $(31, 6, 1)$ -BIBD simétrico (plano projetivo de ordem 5) e um $(57, 8, 1)$ -BIBD simétrico (plano projetivo de ordem 7) cada descrevendo, respectivamente, os espaços projetivos $\mathbb{P}(\mathbb{F}_5^3)$ e $\mathbb{P}(\mathbb{F}_7^3)$.

Exemplo 7 O design $(15, 3, 1)$ -BIBD que é um STS(15), ou seja, um sistema de Steiner de ordem 15 descreve as conexões entre os subespaços de dimensão 1 e dimensão 2 do espaço projetivo $\mathbb{P}(\mathbb{F}_2^4)$.

5 Estrutura Algébrica para uma Classe de Espaços Projetivos

Apresentamos uma similaridade ou compatibilização de espaço projetivo com uma estrutura algébrica através do diagrama de Hasse.

Considere um grupo multiplicativo C_p , onde p é um número primo, isto é, $C_p = (\{1, 2, 3, \dots, p-1\}, \odot_p)$, com \odot_p representando o produto módulo p .

Exemplo 8 Note a similaridade, via os correspondentes diagramas de Hasse, entre o espaço projetivo $\mathbb{P}(\mathbb{F}_2^2)$ e o grupo $G = C_2 \times C_2$ de ordem 4, onde \times denota o produto direto, como ilustrado nas Fig. 2 e Fig. 3.

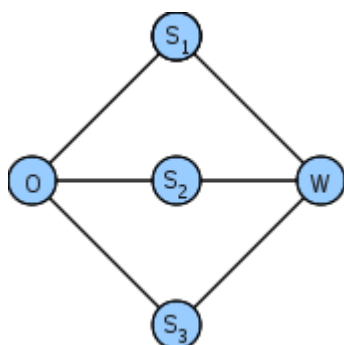


Figura 2: Espaço projetivo $\mathbb{P}(\mathbb{F}_2^2)$

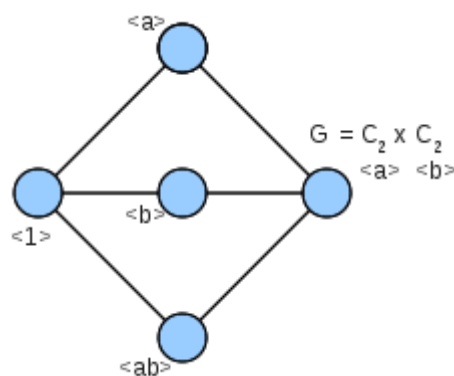
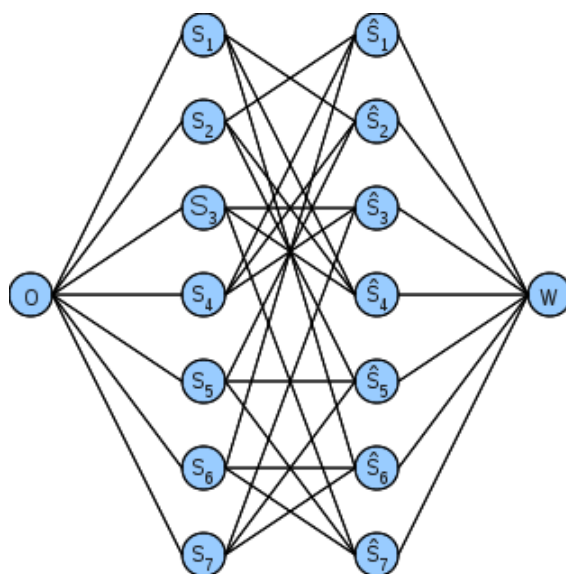


Figura 3: Estrutura algébrica $C_2 \times C_2$

Exemplo 9 Novamente, note a similaridade, via os correspondentes diagramas de Hasse, entre o espaço projetivo $\mathbb{P}(\mathbb{F}_2^3)$ e o grupo $G = C_2 \times C_2 \times C_2$ de ordem 8, Fig. 4 e Fig. 5.



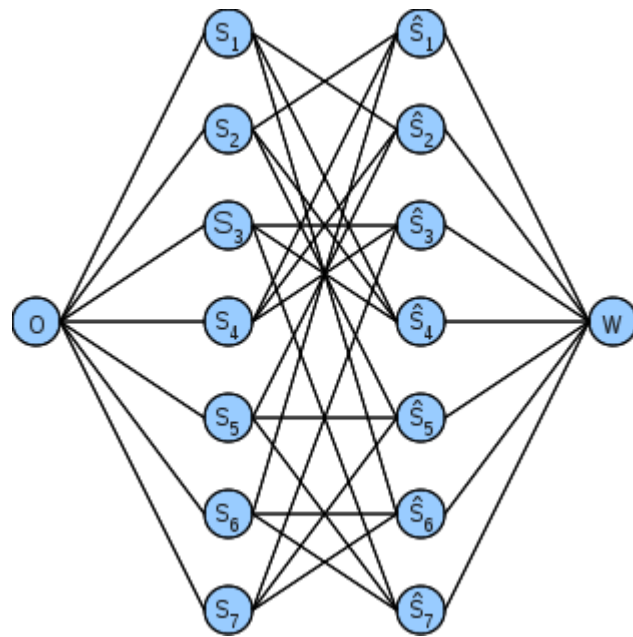


Figura 4: Espaço projetivo $\mathbb{P}(\mathbb{F}_2^3)$

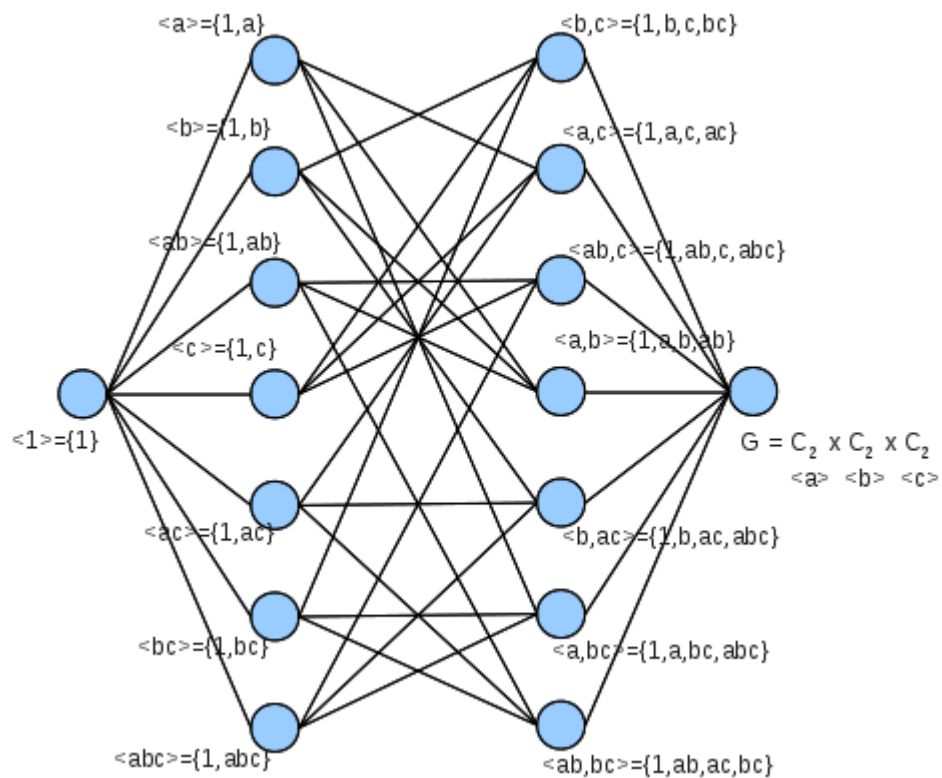


Figura 5: Estrutura algébrica $C_2 \times C_2 \times C_2$

Exemplo 10 Note a similaridade, via os correspondentes diagramas de Hasse, entre o espaço projetivo $\mathbb{P}(\mathbb{F}_3^2)$ e o grupo $G = C_3 \times C_3$ de ordem 9, similar ao exemplo 8.

Exemplo 11 Note a similaridade, via os correspondentes diagramas de Hasse, entre o espaço projetivo $\mathbb{P}(\mathbb{F}_3^3)$ e o grupo $G = C_3 \times C_3 \times C_3$ de ordem 27, por meio do design $(13,4,1)$ -BIBD.

Podemos generalizar os exemplos anteriores, associando o design $(q^2 + q + 1, q + 1, 1)$ -BIBD simétrico, q -primo com o espaço projetivo $\mathbb{P}(\mathbb{F}_q^3)$ e uma estrutura algébrica $G = C_p \times C_p \times C_p$ de ordem p^3 , possuindo subgrupos de ordem p^2 , ordem p e ordem 1 que descrevem a mesma estrutura combinatória que o espaço projetivo $\mathbb{P}(\mathbb{F}_q^3)$. O número de subgrupos de ordem p^2 é dado por:

$$\binom{3}{2}_p = \prod_{i=0}^{k-1} \frac{p^3 - p^i}{p^2 - p^i} = \frac{p^3 - 1}{p^2 - 1} \frac{p^3 - p}{p^2 - p} = p^2 + p + 1,$$

enquanto que a quantidade de subgrupos de ordem p é dada por:

$$\binom{3}{1}_p = \prod_{i=0}^{k-1} \frac{p^3 - p^i}{p - p^i} = \frac{p^3 - 1}{p - 1} = p^2 + p + 1.$$

Note que para $p = 2$ o número de subgrupos cujas ordens são 2 e 4, é igual a 7, ver Exemplo 9. Para $p = 3$, o número de subgrupos cujas ordens são 3 e 9 é igual a 13, ver Exemplo 11.

6 Conclusões

Neste artigo apresentamos por meio de vários exemplos, similaridade existente entre uma classe de espaços projetivos do tipo $\mathbb{P}(\mathbb{F}_q^3)$ e uma estrutura algébrica $G = C_p \times C_p \times C_p$ com $p = q$ primos. Tal similaridade ficou evidenciada por meio do diagrama de Hasse das duas estruturas. Acreditamos que evidenciar tal similaridade seja útil para a elaboração e construção de bons códigos de subespaço.

Referências

- [1] STINSON, D. R. **Combinatorial designs: constructions and analysis**. New York: Springer, 2004.
- [2] ETZION, T.; SILBERSTEIN, N. Error correcting codes in projective spaces via rank-metric codes and Ferrers diagrams. **IEEE Transactions on Information Theory**, vol. 55, n.7, p. 2909-2919, Jul. 2009.
- [3] KOETTER, R.; KSCHISCHANG, F. R. Coding for errors and erasures in random network coding. **IEEE Transactions on Information Theory**, v. 54, n.8, p. 3579-3591, Aug. 2008.

- [4] BRAUN, M. et al. Existence of q -analogs of Steiner systems. *Forum of Mathematics, Pi*, Los Angeles, v.4, e7, 2016. Disponível em <<https://www.cambridge.org/core/journals/forum-of-mathematics-pi/article/existence-of-q-analogs-of-steiner-systems/CCA4E791C28A449903101CF467CBB0D3>> Acesso em: 10/09/2016.
- [5] ETZION, T.; VARDY, A. Error correcting codes in projective space. In *INTERNATIONAL SYMPOSIUM ON INFORMATION THEORY*, 2008, Toronto. **Proceedings ISIT** Toronto, Canadá, 2008. p. 871-875.
- [6] KLALEGHI, A.; SILVA, D.; KSCHISCHANG, F. R. Subspace codes. **Lecture Notes in Computer Science**, v. 5921, p. 1-21, 2009.
- [7] AHLWEDE, R. et al. Network information flow, **IEEE Transactions On Information Theory**, vol. 46,n.º4, p. 1204-1216, Jul. 2000.
- [8] COSTA, C.H.A. **Automorfismos de grupos abelianos finitos**. 2014. 64 f. Dissertação (Mestrado em Matemática) - Programa de Pós-Graduação em Matemática, Universidade Federal de Viçosa, Viçosa/MG, 2014.
- [9] GUERREIRO, M. Group algebras and coding theory. **São Paulo J. Math. Sci.** v.10, n. 2, p. 346-371, 2016.
- [10] MIYAMOTO, G. A. **Códigos de subespaço geometricamente uniformes**, 2015. 48 f. Dissertação (Mestrado em Engenharia Elétrica) - Faculdade de Engenharia Elétrica e de Computação, Universidade Estadual de Campinas, Campinas, 2015.
- [11] NÓBREGA, R. W.; UCHÔA-FILHO, B. F. Multishot codes for network coding: bounds and a multilevel construction. In: *INTERNATIONAL SYMPOSIUM ON INFORMATION THEORY*,2009, Seoul. **Proceedings ISIT**, Seoul, South Korea, 2009. p. 428-432.